

## مقاله پژوهشی

# بررسی و مقایسه زمان ثبت پتانسیل های برانگیخته ثابت شنوازی با استفاده از سه روش قدیمی Ziarani و Kalman

دکتر علیرضا مهری<sup>۱</sup> - دکتر داریوش شهبازی گهروی<sup>۲</sup> - لیلا قائدی<sup>۳</sup>

<sup>۱</sup> استادیار گروه فیزیک و مهندسی پزشکی دانشگاه علوم پزشکی اصفهان، ایران

<sup>۲</sup> دانشیار گروه فیزیک و مهندسی پزشکی دانشگاه علوم پزشکی اصفهان، ایران

<sup>۳</sup> دانشجوی کارشناسی ارشد مهندسی پزشکی دانشگاه علوم پزشکی اصفهان، ایران

## چکیده

**زمینه و هدف:** ارزیابی سلامت شنوازی در افرادی که قادر به همکاری برای انجام آزمون شنوازی نیستند، به خصوص کودکان زیر دو سال به علت قرار داشتن در زمان طلائی آموزش مهارت‌های زبانی، از اهمیت ویژه‌ای برخوردار است. در حال حاضر، ثبت پتانسیل‌های برانگیخته ثابت شنوازی یکی از بهترین روش‌ها جهت آزمون شنوازی به صورت آبجکتیو است ولی زمان طلائی آزمون در این روش، استفاده بالینی آن را محدود نموده است. این پتانسیل در زمان ثبت به شدت با سیگنال الکتروآنسفالوگرافی آلوه می‌شوند، بنابراین جهت استخراج آنها، باید از روش پردازش سیگنال مناسب استفاده شود. هدف از این مطالعه بررسی و مقایسه زمان ثبت پتانسیل‌های برانگیخته ثابت شنوازی با استفاده از سه روش Ziarani و Kalman و قدمی بود.

**روش بررسی:** با توجه به مشخصات این سیگنال، در این پژوهش از دو روش تطبیقی جهت استخراج پتانسیل‌های برانگیخته ثابت شنوازی بکار گرفته شد. روش اول، روش تطبیقی غیرخطی Ziarani و همکاران و روش دوم فیلتر ارتقاء‌یافته Kalman بود. جهت ارزیابی دو روش پیشنهاد شده و مقایسه آنها با روش قدیمی، از دو مجموعه سیگنال بالینی ثبت شده در مرکز تحقیقات روتمن دانشگاه تورنتو، استفاده شد.

**یافته‌ها:** سرعت استخراج این پتانسیل‌ها در روش Ziarani نسبت به روش قدیمی ۱/۶ برابر و در روش فیلتر ارتقاء‌یافته Kalman نسبت به روش قدیمی ۱۳/۱ برابر افزایش یافته است.

**نتیجه‌گیری:** به نظر می‌رسد مناسب‌ترین روش جهت استخراج پتانسیل‌های برانگیخته ثابت شنوازی از بین سه روش فوق، روش فیلتر ارتقاء‌یافته Kalman باشد. به علاوه استفاده از این فیلتر برای ارزیابی به لحاظ آبجکتیو بودن آن می‌تواند سودمندتر و سریع‌تر باشد.

**واژگان کلیدی:** ارزیابی سلامت شنوازی، پتانسیل‌های برانگیخته ثابت شنوازی، زیارانی، فیلتر کالمان

(وصول مقاله: ۱۱/۹/۸۵ پذیرش: ۲۵/۶/۸۶)

## مقدمه

زمان طلائی آزمون در این روش، استفاده بالینی آن را محدود نموده است.<sup>(۱)</sup> پتانسیل‌های برانگیخته ثابت شنوازی، نوعی پتانسیل برانگیخته‌اند که همزمان با اعمال محرك صوتی مناسب، از فرق سر در ناحیه  $C_Z$  یا  $F_Z$  توسط یک الکترود ثبت می‌شوند.<sup>(۲)</sup> از این رو با سیگنال الکتروآنسفالوگرافی EEG) پس زمینه به شدت آلوه (Electroencephalography: EEG) می‌شوند و جهت استخراج این پتانسیل‌ها، باید روش پردازش

ارزیابی شنوازی در افرادی که قادر به همکاری برای انجام آزمون شنوازی نیستند، به خصوص کودکان زیر دو سال به علت قرار داشتن در محدوده اصلی آموزش مهارت‌های زبانی، از اهمیت ویژه‌ای برخوردار است.<sup>(۳-۱)</sup> در حال حاضر، ثبت پتانسیل‌های برانگیخته ثابت شنوازی به صورت آبجکتیو برای کودکان زیر دو سال است ولی Potentials: SSAEPs) یکی از بهترین روش‌ها جهت آزمون شنوازی به شدت آلوه است. این روش برای کودکان زیر دو سال است ولی

یک روش قدیمی (میانگین‌گیری و تحلیل در حوزه فرکانس) انجام شده است. برنامه‌هایی برای اجرای این روش‌ها نوشته شد. برنامه a روش میانگین‌گیری و تحلیل در حوزه فرکانس، برنامه b روش تطبیقی غیرخطی Ziarani و برنامه c روش فیلتر ارتقاء‌یافته Kalman را اجرا می‌کنند.

جدول ۱- امواج صوتی تحریک SSAEPs در داده‌های بالینی

آزمایشی	فرکانس حامل (Hz)	فرکانس مدوله شده (Hz)	گوش
چپ	۸۰/۰۷۸	۷۵۰	
چپ	۸۴/۹۶۱	۱۵۰۰	
چپ	۸۹/۸۴۴	۳۰۰۰	
چپ	۹۴/۷۲۷	۶۰۰۰	
راست	۷۸/۱۲۵	۶۰۰	
راست	۸۳/۰۰۸	۱۰۰۰	
راست	۸۶/۹۱۴	۲۰۰۰	
راست	۹۱/۷۹۷	۴۰۰۰	

### برنامه a

برنامه a جهت مشخص کردن زمان لازم برای استخراج پتانسیل‌های برانگیخته ثابت شنوازی از داده‌های بالینی ورودی با استفاده از روش Picton و همکاران نوشته شده است.<sup>(۴)</sup>، ورودی برنامه داده‌های دیجیتال با فرکانس نمونه‌برداری ۱۰۰۰ هرتز می‌باشد. داده‌های ورودی در بازه‌های زمانی ۱۶/۳۸۴ ثانیه‌ای، دسته-بندی شده و سپس میانگین‌گیری می‌شوند. پس از میانگین‌گیری روی هر تعداد از قطعات، یک دسته داده با طول زمانی ۱۶/۳۸۴ ثانیه به دست می‌آید که حاوی ۱۶۳۸۴ نقطه داده است. در مرحله بعدی از این قطعه داده تبدیل فوریه گرفته می‌شود. تبدیل فوریه اپراتوری است که سیگنال را از حوزه زمان به حوزه فرکانس تبدیل می‌کند. اگر سیگنال  $(t)x$  تابعی از زمان باشد، تبدیل فوریه آن  $X(\omega)$  در حوزه فرکانس بصورت معادله

سیگنال مناسبی استفاده شود.<sup>(۴)</sup>، اگر برای استخراج این پتانسیل‌ها از سیگنال ثبت شده، بتوان روش سریع‌تری را استفاده کرد، زمان لازم برای ثبت سیگنال کاهش یافته و استفاده بالینی این روش تسهیل می‌شود. حرکت‌های صوتی برای ایجاد پتانسیل‌های برانگیخته ثابت شنوازی هشت فرکانس مرسوم هستند که در فرکانس مدولاسیونی حدود ۷۰ تا ۱۰۰ هرتز مدوله شده‌اند و به صورت یک مجموعه واحد به گوش اعمال می‌شوند.<sup>(۵)</sup> و <sup>(۶)</sup>

### روش بررسی

روشی که تا کنون برای استخراج پتانسیل‌های برانگیخته ثابت شنوازی از سیگنال ثبت شده است، بر مبنای میانگین‌گیری روی بازه‌های زمانی جهت افزایش نسبت سیگنال به نویز و سپس تحلیل در حوزه فرکانس (۶-۴) بوده است، که اشکال عمده آن نیاز به ثبت طولانی سیگنال می‌باشد. با توجه به مشخصات این سیگنال، در این تحقیق از دو روش تطبیقی غیرخطی جهت استخراج این پتانسیل‌ها استفاده شده است. روش اول، روش تطبیقی غیرخطی Ziarani و همکاران (۱۰-۷) و روش دوم فیلتر ارتقاء‌یافته Kalman است.<sup>(۱۳-۱۱)</sup>، جهت ارزیابی دو روش پیشنهاد شده و مقایسه آنها با روش قدیمی، از دو مجموعه سیگنال بالینی ثبت شده در مرکز تحقیقات روتمن دانشگاه تورنتو، استفاده شده است. همه پاسخ‌ها در هر دو مجموعه استفاده شده، معنی‌دار هستند یعنی هر هشت فرکانس تحریک توسط افراد مورد آزمایش شنیده شده است. مجموعه اول شامل دو سیگنال ثبت شده از دو شخص دارای شنوازی هنجار در هشت فرکانس مرسوم بوده است. تحریک شنوازی به صورت ۵۰dB SPL در شدت صوت ۱ داده شده در جدول ۱ و در شدت صوت ۵۰dB SPL سه شدت تحریک صوتی اعمال شده در جدول ۲ و در شدت صوت ۵۰dB SPL سه شدت تحریک صوتی اعمال شده در شدت صوت ۶۰dB SPL برای پنج شخص با شنوازی هنجار است. به عبارتی این مجموعه کلاً شامل پانزده سیگنال ثبت شده در بالینی شامل هفده سیگنال هستند که هر کدام هشت فرکانس را در بر می‌دارند. پس بررسی‌ها در مقایسه زمان استخراج ۱۳۶ فرکانس تحریک با استفاده از دو روش پیشنهادی (روش تطبیقی غیرخطی Ziarani و همکاران و روش فیلتر ارتقاء‌یافته Kalman) و

در این معادله شماره  $A_0$  دامنه جزء سینوسی،  $\omega_0$  فرکانس جزء سینوسی و  $\delta_0$  فاز اولیه جزء سینوسی مورد نظر می باشند. هدف این الگوریتم این است که از سیگنال آلوه  $u(t)$  تخمین قابل قبولی از  $u(t)$  بدست آید. این تخمین  $y(t)$  نامیده خواهد شد.

با توجه به این دانش اولیه که  $y(t)$  یک سیگنال سینوسی است، می توان آن را به صورت زیر نمایش داد که شامل سه پارامتر  $A(t)$  و  $\omega(t)$  و  $\phi(t)$  می باشد، این پارامترها به ترتیب تخمین دامنه، فرکانس و فاز کلی سینوسی هستند.

$$y(t) = A(t) \sin(\phi(t))$$

$$\phi(t) = \omega(t)t + \delta(t)$$

با حداقل کردنتابع هزینه  $(J(t, \Theta))$ ، کمترین مربعات خطاب دست خواهد آمد.

$$J(t, \Theta) = \frac{1}{2} [u(t) - y(t, \Theta)]^2 = \frac{1}{2} e^2(t, \Theta)$$

$$\Theta(t) = \begin{bmatrix} A(t) \\ \phi(t) \\ \omega(t) \end{bmatrix}$$

$\Theta$  بردار پارامترها شامل دامنه، فاز و فرکانس می باشد، یعنی  $A(t)$  و  $\phi(t)$  و  $\omega(t)$  به ترتیب دامنه، فاز و فرکانس تخمینی هستند. روند فوق به عنوان برنامه  $b$  در جعبه ابزار Simulink Matlab پیاده شد.

### c برنامه

برنامه  $c$  همان روش فیلتر ارتقاء یافته Kalman می باشد. در فیلتر ساده کالمون فرض می شود که بردار  $n$  بعدی  $X$ ، پارامترهای حالت سیستم و بردار  $m$  بعدی  $Z$ ، پارامترهای اندازه گیری شده و بردار یک بعدی  $U$ ، ورودی کنترلی سیستم (در صورت وجود) می باشند. معادلات تفاضلی زیر در فضای گسسته رابطه حالات سیستم در زمان حال و گذشته و نیز رابطه حالات سیستم با مقادیر اندازه گیری شده را نمایش می دهند.

$$X_k = AX_{k-1} + BU_k + w_k$$

$$Z_k = HX_k + v_k$$

زیر تعریف می شود،  $t$  زمان،  $\omega$  فرکانس و  $\zeta$  متغیر موهومند می باشد.

$$X(\omega) = \int_{-\infty}^{+\infty} x(t) e^{-j\omega t} dt$$

(Discrete Fourier Transform: DFT) تبدیل فوریه برای سیگنال های گسسته فوریه (Fast Fourier Transform: FFT) با استفاده از الگوریتم تبدیل سریع یکی از فرض های اولیه در محاسبه تبدیل فوریه یک سیگنال و استفاده از روش FFT برای محاسبه تبدیل فوریه این است که سیگنال مورد نظر یک سیگنال ایستا است. مقدار تبدیل فوریه به دست آمده در فرکانس تحریک مورد نظر، با مقادیر ۱۲۰ نقطه فرکانسی همسایه، شامل ۶۰ نقطه فرکانسی بالاتر و ۶۰ نقطه فرکانسی پایین تر (به جز بقیه فرکانس های تحریک) مقایسه می شود. در صورتی که مقدار دامنه تبدیل فوریه در فرکانس مورد نظر با احتمال بیشتر از ۹۵٪ از توزیع نقاط همسایه اش متفاوت باشد، پاسخ معنی دار در نظر گرفته می شود. تعداد قطعات داده ۱۶۳۸۴ که میانگین گیری روی آنها انجام می شود تا رسیدن به پاسخ مطلوب افزایش می یابد یا این که با تمام شدن داده ها، پاسخ بی معنی در فرکانس مورد نظر اعلام می شود.

### b برنامه

برنامه  $b$  بر اساس الگوریتم Ziarani می باشد که یک الگوریتم تطبیقی غیرخطی است که عملکرد اصلی آن استخراج یک سیگنال سینوسی غیر ایستا (متغیر با زمان) از سیگنالی است که علاوه بر سیگنال سینوسی مورد نظر حاوی اجزای ناخواسته دیگر و نویز هم می باشد. این الگوریتم توسط Ziarani همکاران معرفی شده است و پایداری آن نیز اثبات شده است. (۷۰)، هدف این روش استخراج سیگنال سینوسی بر اساس تخمین مستقیم دامنه، فاز و فرکانس سیگنال سینوسی مورد نظر می باشد. عملکرد این الگوریتم غیرخطی تطبیقی، در استخراج سیگنال سینوسی مورد نظر به وسیله دنبال کردن دامنه، فاز و فرکانس جزء سینوسی مورد نظر انجام می شود. جهت شرح ساختار این الگوریتم فرض می شود که سیگنال ورودی  $u(t)$  شامل جزء سینوسی مورد نظر  $u_0(t)$  و مجموعه ای از اجزای نا خواسته دیگر و نویز  $u_1(t)$  باشد.

$$u(t) = u_0(t) + u_1(t)$$

$$u_0(t) = A_0 \sin(\omega_0 t + \delta_0)$$

متفاوتی دارند. با استفاده از این مجموعه معادلات، در هر نقطه یک تقریب خطی، از روابط غیرخطی حاکم بر دینامیک سیستم به دست می‌آید، سپس الگوریتم فیلتر Kalman روی مقادیر به دست آمده اجرا شد.

### یافته‌ها

سه برنامه  $a$  و  $b$  و  $c$  برای استخراج هشت فرکانس تحریک از هر یک از سیگنال‌های ثبت شده اجرا شدند و زمان لازم برای استخراج هر یک از فرکانس‌های برانگیخته به دست آمده است که  $136\text{ ms}$  مدت مختلف برای هر یک از فرکانس‌ها را به دست می‌دهد. امواج صوتی برای ایجاد پتانسیل‌های برانگیخته ثابت شنوازی و داده‌های بالینی استفاده شده در این تحقیق در جدول ۱ نشان داده شده است. از طرفی زمان لازم برای استخراج پاسخ‌های شنوازی از هر یک از سیگنال‌ها برابر با ماکزیمم زمان‌های استخراج هر یک از هشت فرکانس مدولاسیون تحریک خواهد بود. با توجه به این نکته برای هر یک از هفده سیگنال بررسی شده، حداقل زمان لازم برای استخراج پاسخ‌های تحریک شنوازی محاسبه شد که نتایج حاصله در جدول ۲ نمایش داده شده است. در شکل ۱ قسمتی از یکی از سیگنال‌های دسته اول در حوزه زمان نمایش داده شده است. عملکرد هر یک از برنامه‌های  $a$  و  $b$  و  $c$  جهت استخراج پتانسیل‌های برانگیخته ثابت شنوازی در فرکانس  $84/961\text{ Hz}$  هرتز از این سیگنال به ترتیب در شکل‌های ۲، ۳ و ۴ نمایش داده شده است.

که  $W_k$  و  $V_k$  به ترتیب نویز سیستم و نویز اندازه‌گیری را نمایش می‌دهند.

فیلتر ساده Kalman برای سیستم‌های که معادلات آنها به صورت خطی بیان می‌شد قابل استفاده است. اگر معادلات سیستم به صورت غیرخطی بیان شود، با به کاربردن یک تقریب خطی با استفاده از سری تیلور در نقطه کار می‌توان از فیلتر Kalman چهت تخمین حالات سیستم‌های غیرخطی استفاده کرد. در حالت غیرخطی معادلات بالا به صورت زیر در می‌آیند.

$$X_k = f(X_{k-1}, U_k, w_k)$$

$$Z_k = h(X_k, v_k)$$

در این حالت معادلات برای بخش پیش‌بینی در مرحله  $k$  به صورت زیر در می‌آید.

$$\hat{X}_{k|k-1} = f(\hat{X}_{k-1|k-1}, U_k, 0)$$

$$P_{k|k-1} = A_k P_{k-1|k-1} A_k^T + W_k Q_k W_k^T$$

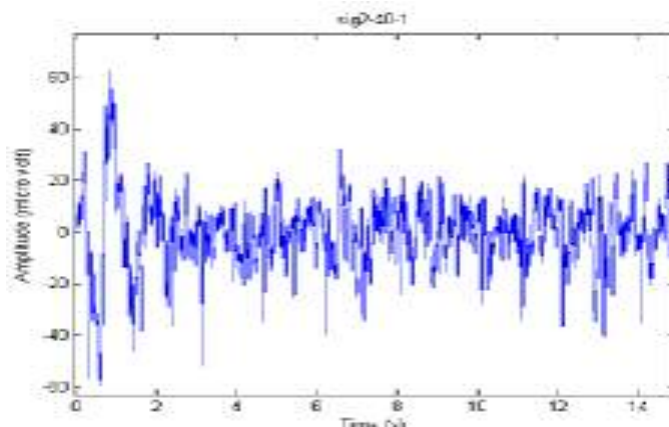
و معادلات برای بخش تصحیح مرحله  $k$ ، به صورت زیر در می‌آید.

$$K_k = P_{k|k-1} H_k^T (H_k P_{k|k-1} H_k^T + V_k R_k V_k^T)^{-1}$$

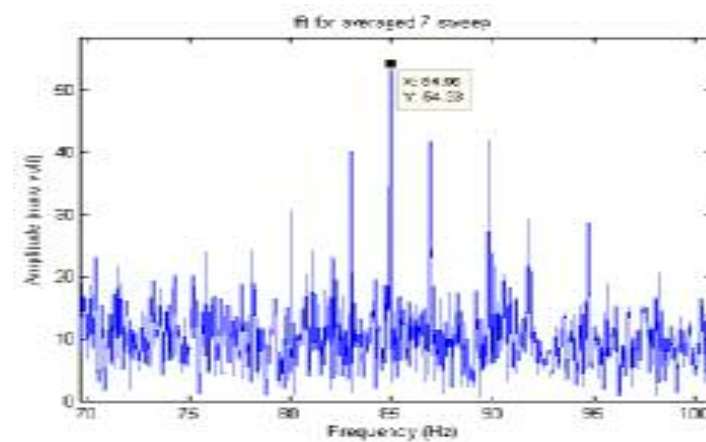
$$\hat{X}_k = \hat{X}_{k|k-1} + K_k (Z_k - h(\hat{X}_{k|k-1}, 0))$$

$$P_{k|k} = (1 - K_k H) P_{k|k-1}$$

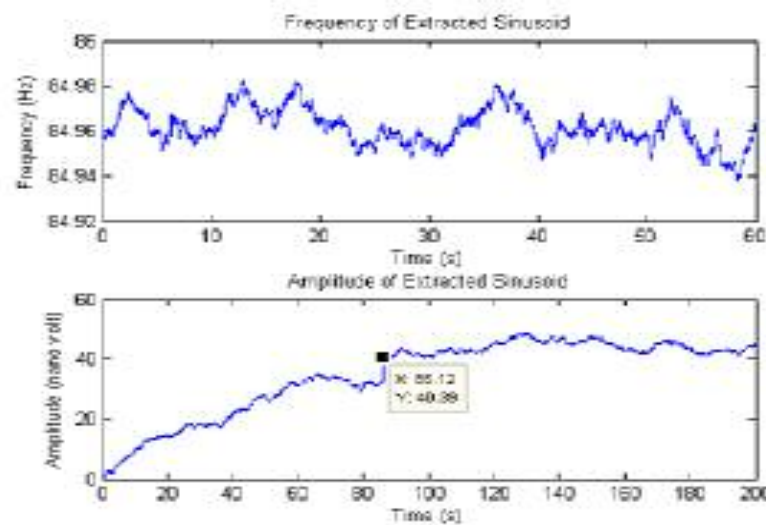
که در معادلات بالا، ماتریس‌های  $A$ ،  $W$ ،  $V$  و  $H$  ماتریس‌های ژاکوبین حاصل از مشتقات جزئی هستند. زیرنویس  $k$  برای ماتریس‌های  $A$ ،  $V$  و  $H$ ، نمایش دهنده این مسئله است که در هر تکرار (در هر مرحله  $k$ ) این ماتریس‌ها، مقدار



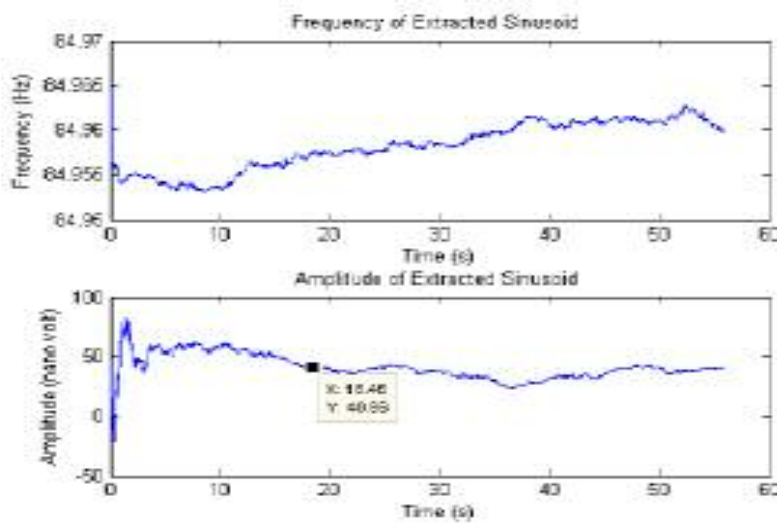
شکل ۱- نمایش قسمتی از یکی از سیگنال‌ها در حوزه زمان



شکل ۲- نمایش طیف حاصل از برنامه a برای سیگنال شکل ۱ بعد از میانگین گیری روی ۷ بازه زمانی ۱۶/۳۸۴ ثانیه‌ای



شکل ۳- نمایش فرکانس و دامنه استخراج شده در برنامه b برای سیگنال شکل ۱ برای فرکانس ۸۴/۹۶۱ هرتز



شکل ۴- نمایش فرکانس و دامنه استخراج شده در برنامه c برای سیگنال شکل ۱ برای فرکانس ۸۴/۹۶۱ هرتز

## بحث

دو روش دیگر و در روش قدیمی بیشتر از دو روش دیگر است. قابلیت اعتماد روش ارتقاء یافته Kalman از دو روش دیگر بیشتر است.

### نتیجه‌گیری

با توجه به حجم محاسبات، میزان حافظه لازم و زمان متوسط استخراج سیگنال در روش فیلتر ارتقاء یافته Kalman به نظر می‌رسد که ساخت دستگاهی شامل یک مولد محرک صوتی برای ایجاد پتانسیل‌های برانگیخته ثابت شنوازی و گیرنده و پردازشگر با استفاده از این روش با هزینه کم و حجم کم میسر باشد.

همچنانکه از روی جداول ۱، ۲ و شکل‌های ۳، ۴ و ۵ مشاهده می‌شود مناسب‌ترین روش جهت استخراج پتانسیل‌های برانگیخته ثابت شنوازی از بین سه روش به کار رفته، روش فیلتر ارتقاء یافته Kalman می‌باشد. چرا که در این روش زمان نسبت به دو روش دیگر کوتاه‌تر بوده و نویز حاصل شده نیز بسیار اندک است. سرعت استخراج پتانسیل‌های برانگیخته ثابت شنوازی در روش تطبیقی غیرخطی Ziarani و همکاران نسبت به روش قدیمی (میانگین‌گیری و تحلیل در حوزه فرکانس) ۱/۶ برابر افزایش یافته است و در روش فیلتر ارتقاء یافته Kalman نسبت به روش قدیمی ۱۳/۱ برابر افزایش یافته است. حجم محاسبات و حافظه لازم در روش تطبیقی غیرخطی Ziarani و همکاران کمتر از

جدول ۲- حداقل زمان لازم (بر حسب ثانیه) برای استخراج پتانسیل‌های برانگیخته ثابت شنوازی از سیگنال‌های بالینی با استفاده از سه برنامه a و b و c

c برنامه	b برنامه	a برنامه	سیگنال	ردیف
۳۵/۳	۲۸۰/۰	۲۷۸/۵	Sig1-2	۱
۳۸/۹	۲۰۲/۷	۲۶۲/۱	Sig1-2	۲
۲۱/۲	۱۷۰/۲	۲۵۴/۷	Sig2-40-1	۳
۲۲/۵	۱۶۰/۶	۲۷۸/۵	Sig2-40-2	۴
۲۲/۵	۱۰۸/۱	۳۱۱/۲	Sig2-40-3	۵
۱۹/۷	۱۴۵/۲	۳۹۳/۲	Sig2-40-4	۶
۲۰/۱	۱۵۴/۵	۴۵۸/۷	Sig2-40-5	۷
۲۰/۲	۲۷۵/۶	۲۲۹/۳	Sig2-50-1	۸
۱۹/۷	۲۰۲/۸	۲۷۸/۵	Sig2-50-2	۹
۲۱/۱	۱۳۰/۰	۲۲۹/۳	Sig2-50-3	۱۰
۲۲/۳	۱۷۵/۰	۲۷۸/۵	Sig2-50-4	۱۱
۲۱/۵	۱۵۱/۸	۲۱۲/۹	Sig2-50-5	۱۲
۱۹/۹	۱۶۳/۰	۳۱۱/۲	Sig2-60-1	۱۳
۲۰/۳	۱۷۵/۲	۲۶۲/۱	Sig2-60-2	۱۴
۲۲/۶	۲۰۵/۶	۳۲۷/۶	Sig2-60-3	۱۵
۱۸/۲	۱۹۹/۲	۳۱۱/۲	Sig2-60-4	۱۶
۱۹/۵	۲۰۶/۸	۳۲۷/۶	Sig2-60-5	۱۷
۳۸۵/۵	۳۰۸۸/۳	۵۰۳۷/۹	جمع	
۲۲/۶	۱۸۶/۱	۲۹۶/۳	میانگین	

## REFERENCES

1. Stapells DR. Cortical event-related potentials to auditory stimuli. In: Katz J, Editor. Handbook of clinical audiology. 5<sup>th</sup> ed. Baltimore: Williams & Wilkins; 2002.p.378-406.
2. National institute on deafness and other communication disorders (NIDCD). Communicating the need for follow-up to improve outcomes of newborn hearing screening [online]. 2001 [cited 2006 Sep 12]; [15]. Available from: URL:<http://www.nidcd.nih.gov/staticresources/funding/programs/hb/hearingreport.pdf>.
3. Small SA, Stapell DR. Artifactual responses when recording auditory steady-state responses. Ear Hear 2004; 25(6):611-23.
4. John MS, Dimitrijevic A, Picton TW. Weighted averaging of steady state responses. Clin Neurophysiol 2001; 112(3):555-62.
5. John MS, Picton T. MASTER demo tutorial [online]. [1999] [cited 2006 Sep 12]; Available from: URL:<http://www.hearing.cjb.net/>
6. John MS, Brown DK, Muir PJ, Picton TW. Recording auditory steady state responses in young infants. Ear Hear 2004; 25(6):539-53.
7. Ziarani AK, Konrad A. A method of extraction of nonstationary sinusoids. Signal Processing 2004; 84(8):1323-46.
8. Ziarani AK, Konrad A. A nonlinear adaptive method of elimination of power line interference in ECG signals. IEEE Trans Biomed Eng 2002; 49(6):540-47.
9. Ziarani AK, Konrad A. A novel method of estimation of DPOAE signals. IEEE Trans Biomed Eng 2004; 51(5):864-68.
10. Ziarani AK, Karimi-Ghartemani M. On the equivalence of three independency developed phase-locked loops. IEEE Trans Auto Cont 2005; 50(12):2021-7.
11. Haykin S. Adaptive filter theory. 2nd ed. New Jersey: Prentice Hall; 1991.
12. Kalman RE. A new approach to linear filtering and prediction problems. Trans ASME J Basic Eng 1960; 82:35-45.
13. Welch G, Bishop G. An introduction to the Kalman filter [online]. [2001] [cited 2006 Sep 12]; [81 pages]. Available from: URL:[http://www.cs.unc.edu/~tracker/media/pdf/SIGGRAPH2001Course Pack\\_08.pdf](http://www.cs.unc.edu/~tracker/media/pdf/SIGGRAPH2001Course Pack_08.pdf).